

IRSN

INSTITUT
DE RADIOPROTECTION
ET DE SÛRETÉ NUCLÉAIRE

Faire avancer la sûreté nucléaire

La Méthode de Monte Carlo

Formation CRISTAL

DE LA RECHERCHE À L'INDUSTRIE

cea

Sommaire

■ Introduction

- Historique
- Généralités

■ Application au calcul de criticité

- Simulation
- Vie du neutron
- Sections efficaces
- Convergence
- Estimateurs

■ Voies de calcul CRISTAL

- Multigroupe
- Ponctuelle

Sommaire

■ Introduction

- Historique
- Généralités

■ Application au calcul de criticité

- Simulation
- Vie du neutron
- Sections efficaces
- Convergence
- Estimateurs

■ Voies de calcul CRISTAL

- Multigroupe
- Ponctuelle

Introduction : Historique

■ Première version connue

- Expériences des Aiguilles
- Comte de Buffon - XVIIIe siècle - « Essai d'arithmétique morale »

■ Projet Manhattan

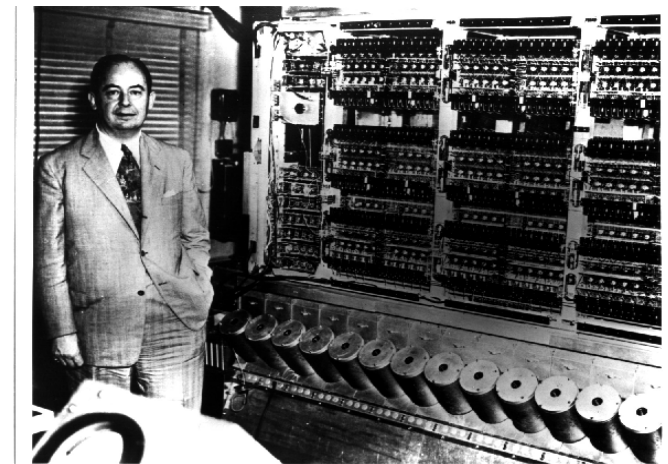
- 1946 - ENIAC - Modèle diffusion neutron dans la matière
- S. Ulam, N. Metropolis, J. Von Neumann

The question was what are the chances that a Canfield solitaire laid out with 52 cards will come out successfully? ... , I wondered whether a more practical method than "abstract thinking" might not be to lay it out say one hundred times and simply observe and count the number of successful plays.

S. Ulam

■ A ce jour : méthode répandue

- Physique des particules, radiothérapie, météorologie ...



Von Neumann

Monte Carlo : Une première approche

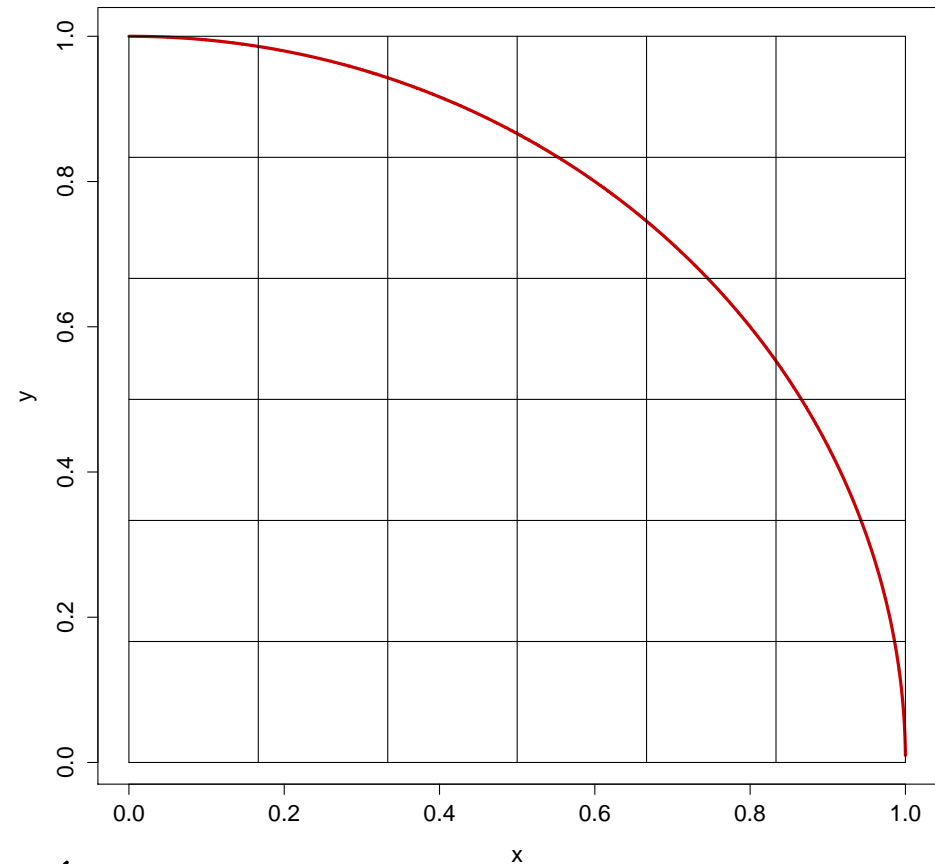
■ Calcul de π

- Cercle de rayon 1
 - aire = $\pi/4$
- inscrit dans carré de coté 1
 - aire = 1

■ méthode du rejet

- échantillonne coordonnées
 - lance deux dés
- Le point est-il dans le disque?
 - oui : point accepté
 - non : point rejeté
- Aire du disque

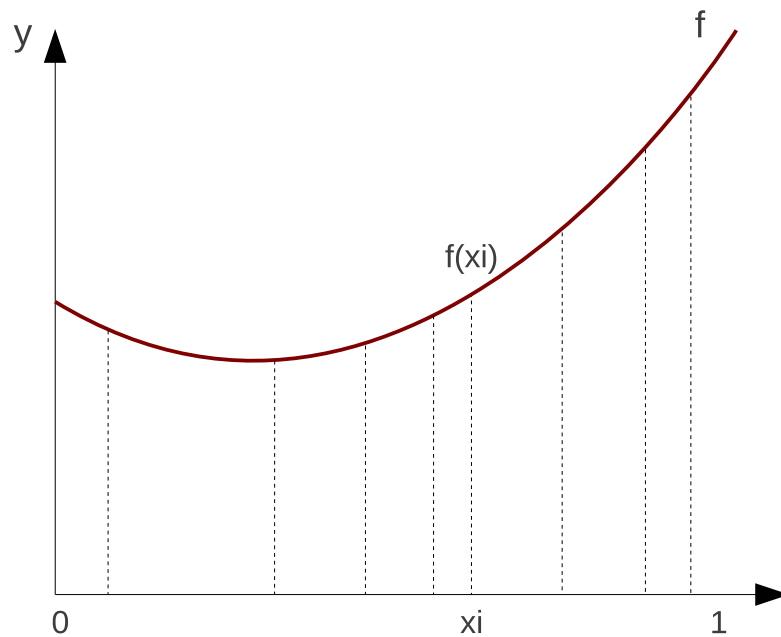
$$\frac{\text{Nb tirages réussis}}{\text{Nb total tirages}} \times \text{aire carré}$$



Introduction : Calcul d'intégrale

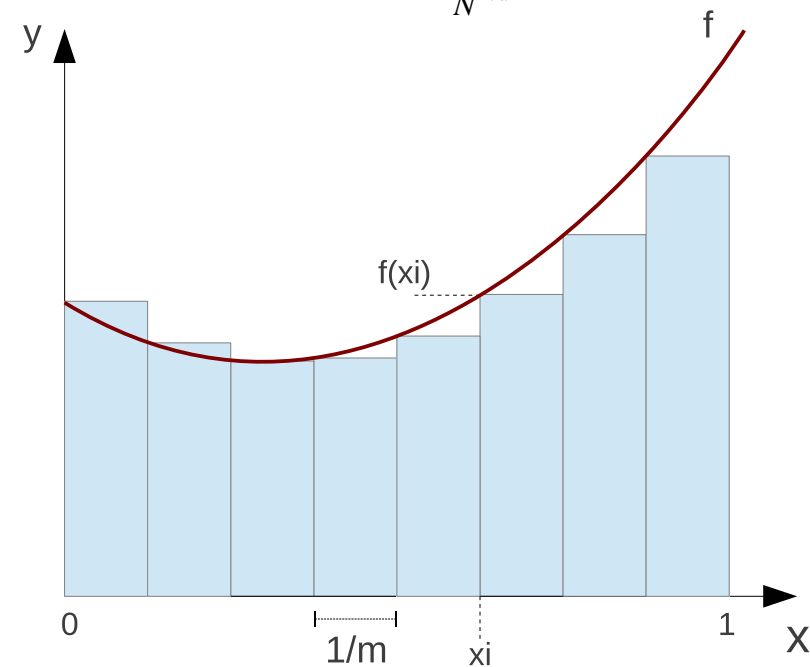
Monte Carlo

- choix aléatoire des x_i dans $[0,1]$
- intégrale : moyenne des $f(x_i)$
- convergence : $\frac{1}{\sqrt{N}}$



Déterministe

- f approchée par fonction en escalier
- x_i imposés par la discrétisation
- intégrale : surface des rectangles
- convergence : $\frac{1}{N^{2/d}}$



Introduction : Généralités

■ Déterministe

- Résolution de l'équation de transport sur un espace discrétisé
- Pas d'incertitude sur le résultat
- Obtention rapide des résultats
- Requiert approximations (ralentissement, collision)
- Vitesse de convergence dépend dimension du problème
- Limitation à des configuration 1D/2D

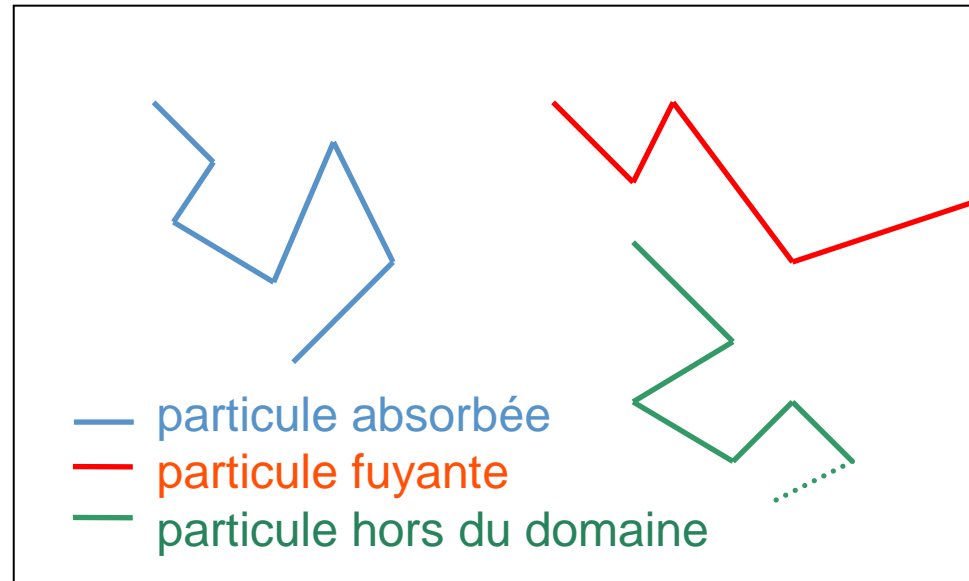
■ Monte Carlo

- Simulation d'un grand nombre de neutrons - comportement moyen
- Incertitude sur le résultat
- Vitesse de convergence indépendante de la dimension
- Possibilité de traiter toutes les configurations géométriques
- Continu en angle, énergie, espace

Application à la neutronique

■ Simulation de la vie d'un certain nombre de particules

- N : naissance
- T : transport
- C : collision
- F : fuite
- A : absorption
- D : disparition
hors du domaine d'intérêt



■ Comportement moyen

- Moyenne sur le comportement des particules simulées

Sommaire

■ Introduction

- Historique
- Généralités

■ Application au calcul de criticité

- Simulation
 - Organisation, nombres aléatoires
- Vie du neutron
- Sections efficaces
- Convergence
- Estimateurs

■ Voies de calcul CRISTAL

- Multigroupe
- Ponctuelle

Equation de Boltzmann

- Équation d'équilibre sur le flux neutronique

$$\phi = v.n$$

- Bilan sur : Transport, Collisions, Diffusions, Fissions

- A priori pas de raisons qu'il y ait l'équilibre

- Utilisation d'une constante pour ajuster les fissions

$$\underbrace{\Omega.\nabla\phi}_{\text{Transport}} + \underbrace{\Sigma_t\phi}_{\text{Collision}} = \underbrace{S\phi}_{\text{Diffusion}} + \frac{1}{k_{eff}} \underbrace{F\phi}_{\text{Fission}}$$

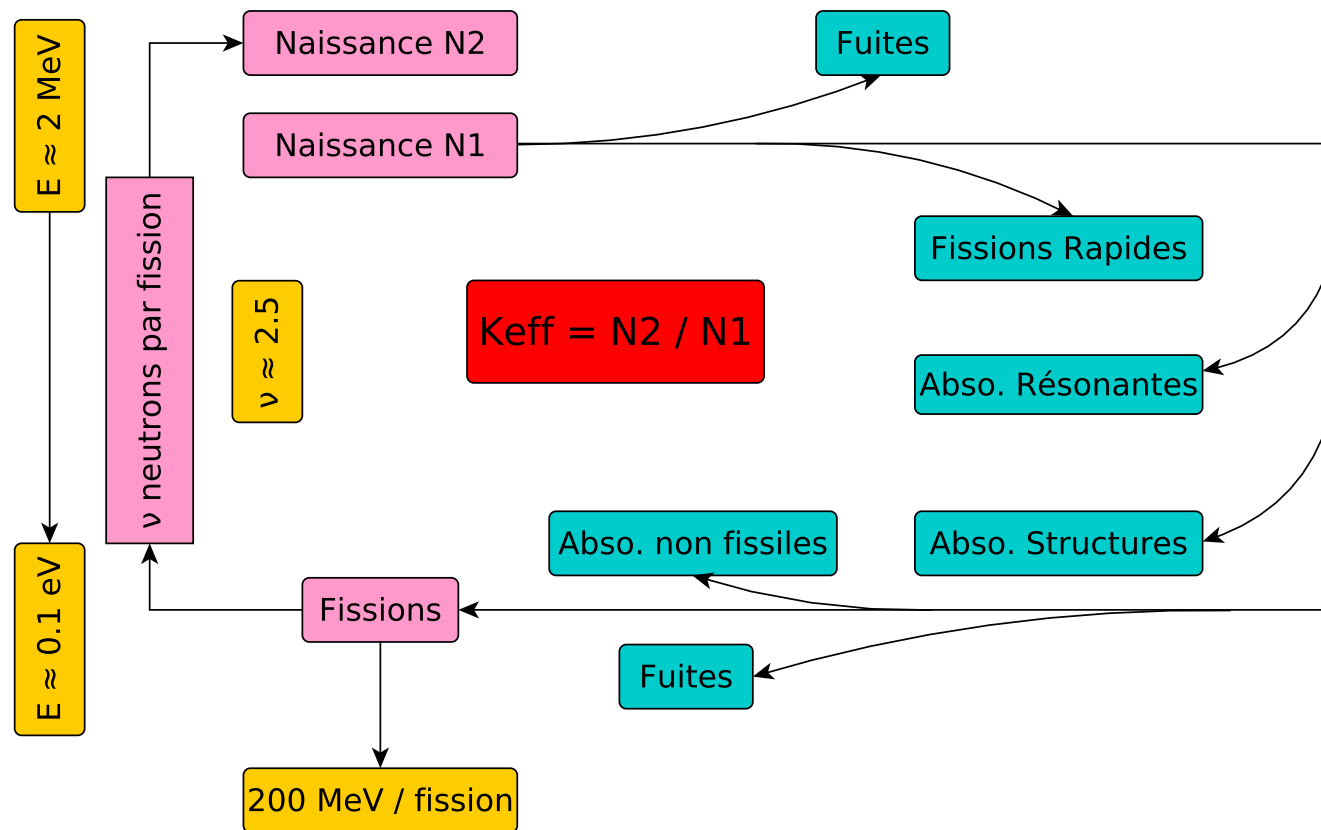
- keff : distance à la criticité

- facteur par lequel doit être divisé v pour atteindre la criticité
- v : nombre moyen de neutron par fission

Application à la criticité

■ Simulation de générations de neutrons

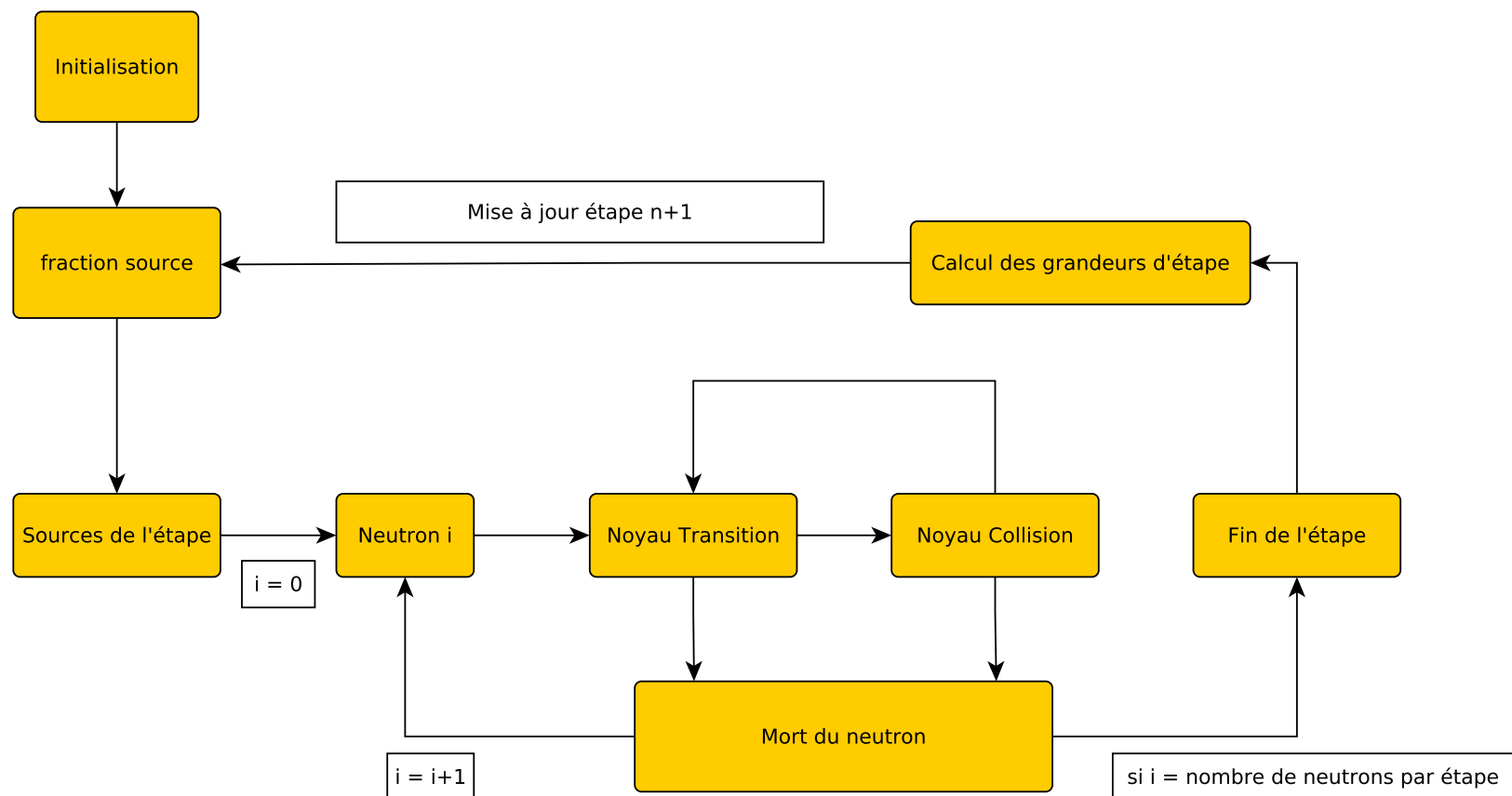
- Dépendance d'une génération à l'autre
- Calcul aux valeurs propres



Simulation

■ Naissance, Transport, Collision

■ Phénomènes modélisés grâce à des lois de probabilité



Nombres aléatoires

- Nombres pseudo-aléatoires en réalité
- Suite périodique déterministe (très grande période) de réels obtenus entre 0 et 1
- Permet d'obtenir une distribution « uniforme » dans un espace à n dimensions
- « Changer l'aléa » revient à éliminer un certain nombre de premiers termes de la suite

■ Ex sur Tripoli4 : $(x_k, a_i \in \{0, 1\})$

$$x_k \equiv \sum_{i=1}^p a_i x_{k-i}$$

$$W_i = x_i x_{i+d} \cdots x_{i+(l-1)d}$$

GFSR (Generalized Feed-back Shift Register)

S. Aluru, G.M. Prabhu and J. Gustafson

« A random number generator for parallel computers »

PARALLEL COMPUTING 1992 vol. 18

Sommaire

■ Introduction

- Historique
- Généralités

■ Application au calcul de criticité

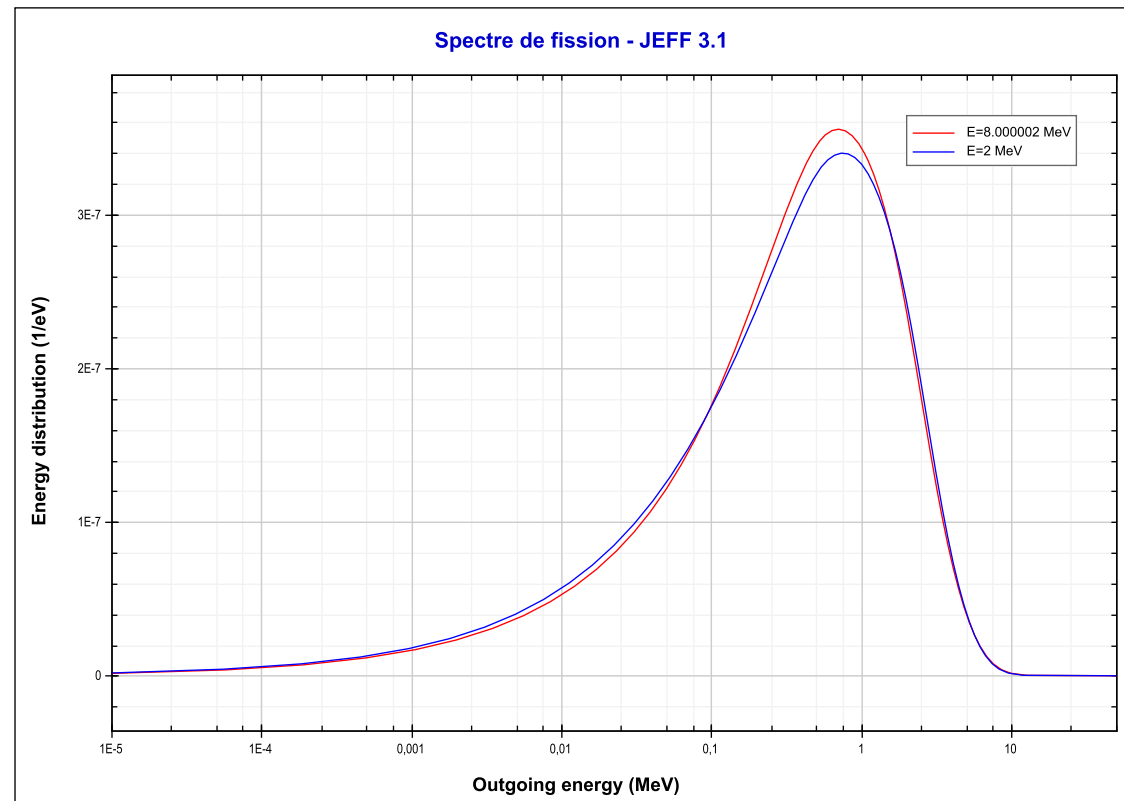
- Simulation
- Vie du neutron
 - Naissance, Transport, Interaction
- Sections efficaces
- Convergence
- Estimateurs

■ Voies de calcul CRISTAL

- Multigroupe
- Ponctuelle

Naissance

- Coordonnées modifiées : position, énergie, angle
 - distribution géométrique de production, Spectre énergétique, Isotrope
- Distribution énergétique



Sites de naissances pour la génération suivante

■ MORET-4

■ sites de collision

■ Position

- x,y,z

- #### ■ poids :
- $$w.v. \frac{\sum_f}{\sum_t}$$
- poids neutron
 - × nb neutrons produits par fission
 - × proba que le choc soit une fission)
 - intérêt : multiplier le nombre de sites - plusieurs sites par neutron simulé

■ TRIPOLI-4

■ sites de fission

■ Position

- x,y,z

- #### ■ poids :
- $$w.v$$
- poids neutron
 - × nb neutrons produits par fission

Transport

■ Coordonnées modifiées : position

- Lois de transport

■ Loi de probabilité en milieu infini

- Probabilité de parcourir une distance l sans interactions
- Interaction entre l et $l+dl$

$$T(r \rightarrow r') = \Sigma_t \exp(-\Sigma_t l)$$

■ Probabilité d'interaction avec traversée de plusieurs milieux

- Probabilité de parcourir une distance l sans interactions
- Interaction entre l et $l+dl$

$$T(r \rightarrow r') = \Sigma_{t,N} \exp\left(-\sum_{n=1}^N \Sigma_{t,n} l_n\right)$$

Transport

- Déterminer la distance parcourue sans collision

- La fonction de répartition

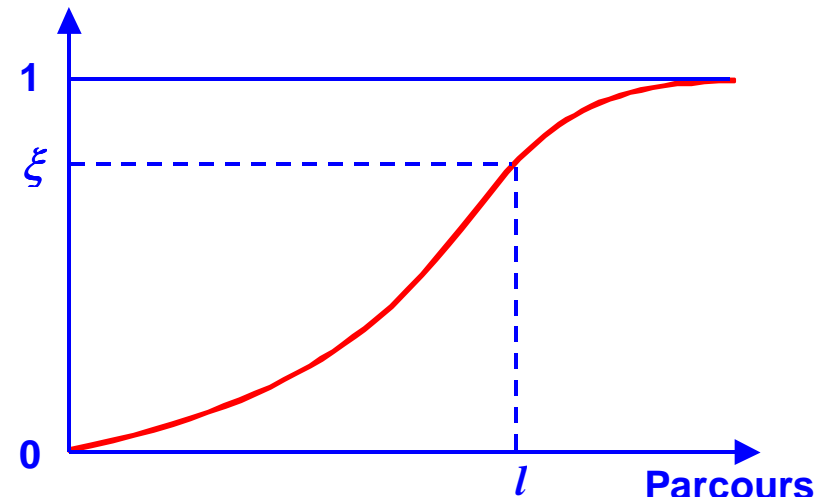
$$F(l) = \int_0^l p(l) dl = 1 - \exp(-\Sigma_t l)$$

- Tirage d'un nombre aléatoire ξ sur $[0,1]$

- Distance parcourue

$$l = F^{-1}(\xi) = -\frac{1}{\Sigma_t} \ln(1 - \xi)$$

Fonction de répartition $F(l)$



Géométrie

■ Calcul de la trajectoire dans la géométrie

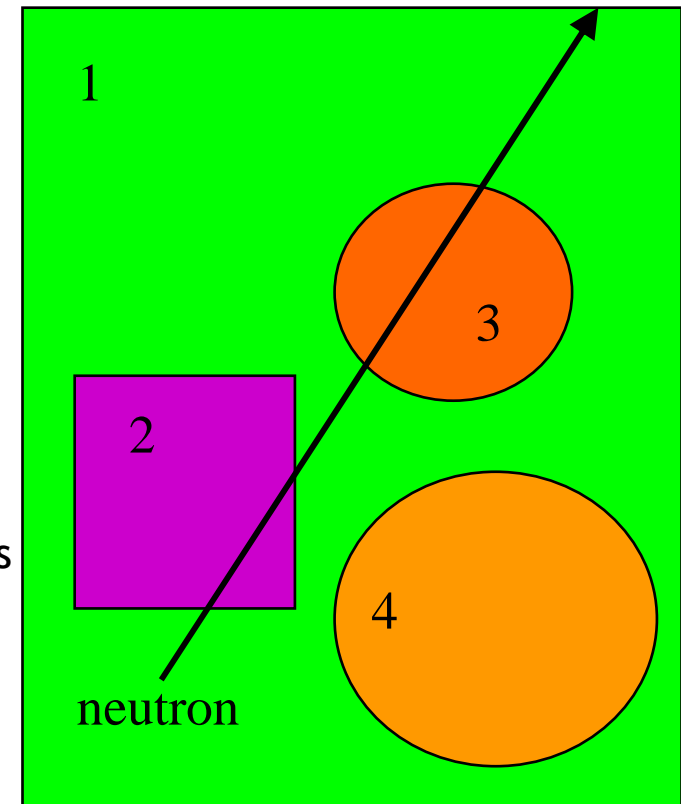
- Volume courant
- Volume voisins
- Distances aux frontières des volumes
- Intersection de la trajectoire du neutron
- Nécessité de traiter chaque volume que le neutron est susceptible de « voir »

■ Coût de calcul important

- Temps de calcul augmente avec nb volumes

■ Description

- Volumique (MORET, TRIPOLI)
- Surfactive (MCNP)



Collision

- Coordonnées modifiées : Energie, Angle
- Choix du noyau collisionné
 - en multigroupe : un seul noyau « équivalent »
- Choix de l'interaction
 - Diffusion, capture, fission, (n,xn)
- Capture stérile ou fission
 - Traitement équivalent : Absorption
 - Mort du neutron
- Diffusion
 - Lois de détermination des (E,omega) de sortie
 - Lois de la cinématique + sections efficaces : E continu

Collision

■ Choix du noyau collisionné parmi N noyaux

- N_i : nombres d'atomes de chaque noyau (utilisateur)
- $\sigma_{t,i}$: section microscopique totale de chaque noyau (données nucléaires)

■ Probabilité d'interaction avec noyau i

$$p(i) = \frac{N_i \sigma_{t,i}}{\sum_{i=1}^N N_i \sigma_{t,i}}$$

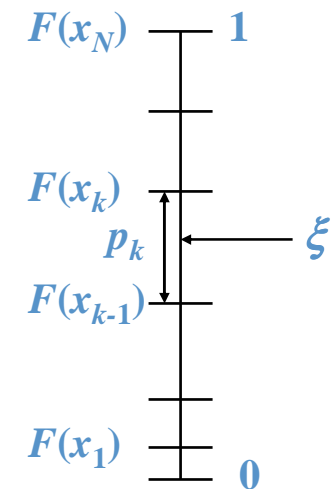
■ Fonction de répartition $F(i) = \sum_{k=1}^i p(k)$

■ Tirage d'un nombre aléatoire ξ sur $[0,1]$

■ Interaction avec le noyau i tel que $F(i-1) \leq \xi \leq F(i)$

■ Cas calcul multigroupe

- Calcul avec un seul noyau « équivalent »



Collision

- Choix de l'interaction

- $\sigma_{j,i}$: section efficace de l'interaction j du noyau i

- Probabilité de l'interaction j $p_i(j) = \frac{\sigma_{j,i}}{\sum_{j=1}^M \sigma_{j,i}} = \frac{\sigma_{j,i}}{\sigma_{t,i}}$

- Fonction de répartition $F(j) = \sum_{k=1}^j p_i(k)$

- Tirage d'un nombre aléatoire ξ sur $[0,1]$

- Interaction j tel que $F(j-1) \leq \xi \leq F(j)$

- Interaction différentes selon traitement énergie

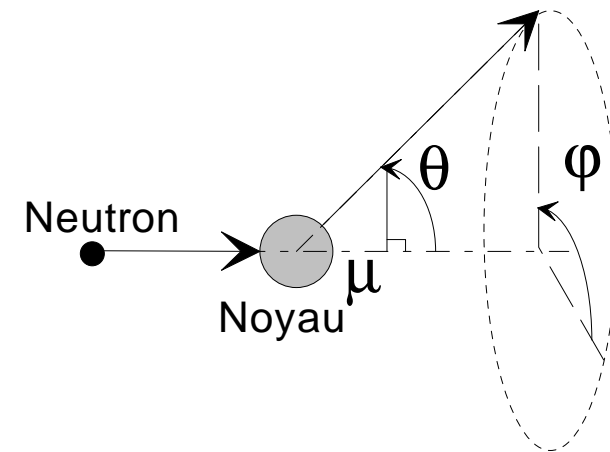
- Continu : traitement de toutes les réactions
- multigroupe : réactions « équivalente »
 - pas de distinction entre les différentes diffusions

Collision

■ Détermination des cosinus et énergies de sortie

■ Energie continue

- Cosinus de sortie
 - section efficaces
- Energie de sortie
 - sections efficaces
 - cinématique à 2 corps



■ Multigroupe

- Détermine le groupe d'arrivée
 - matrice de transfert
- Cosinus de sortie
 - Lois : polynômes de Legendre
 - Peut prendre des valeurs négatives
- Modèles pour représenter l'anisotropie
 - Coveyou (P1), Lux (P3), Angles Discret ($\geq P5$)

Sommaire

■ Introduction

- Historique
- Généralités

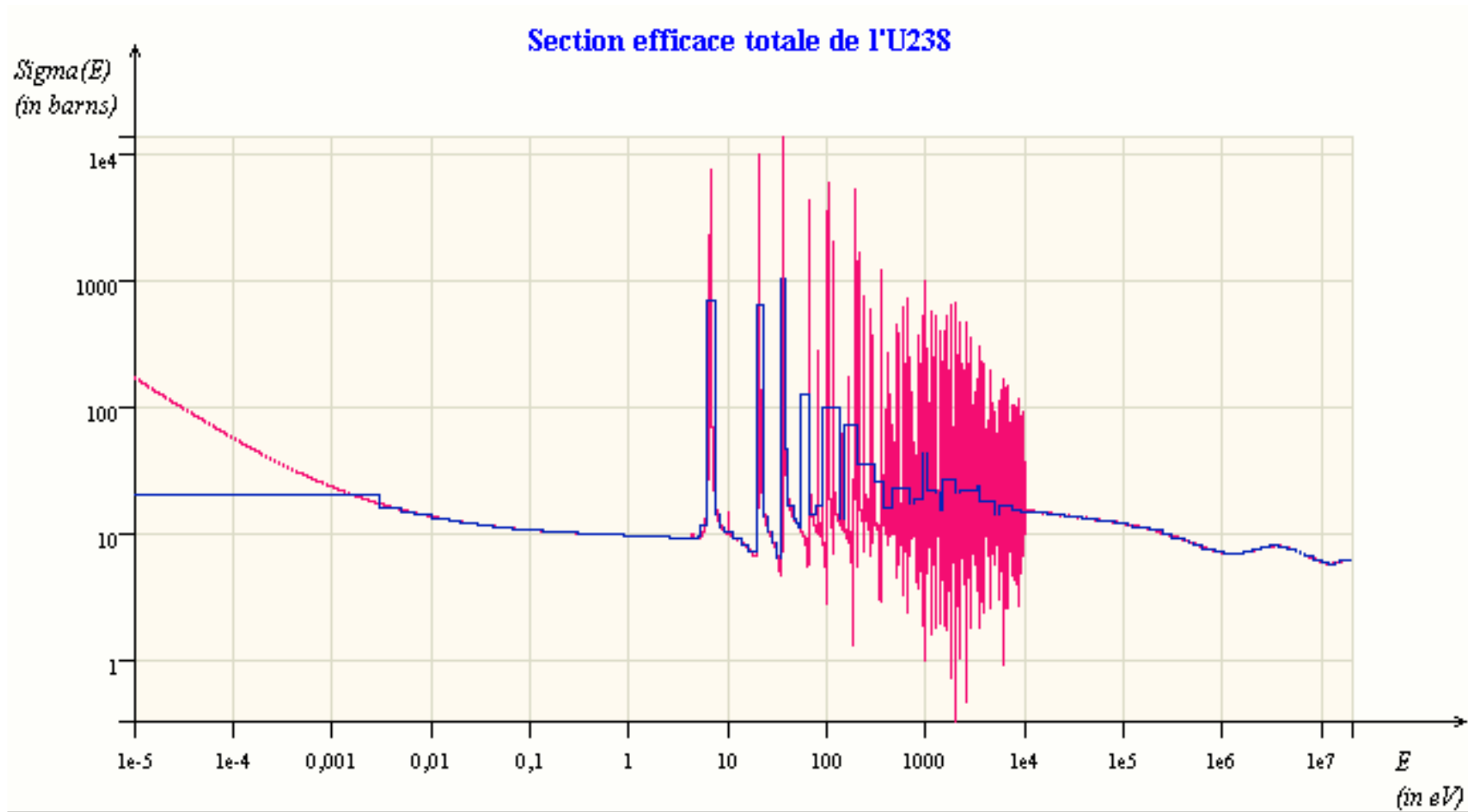
■ Application au calcul de criticité

- Simulation
- Vie du neutron
- **Sections efficaces**
- Convergence
- Estimateurs

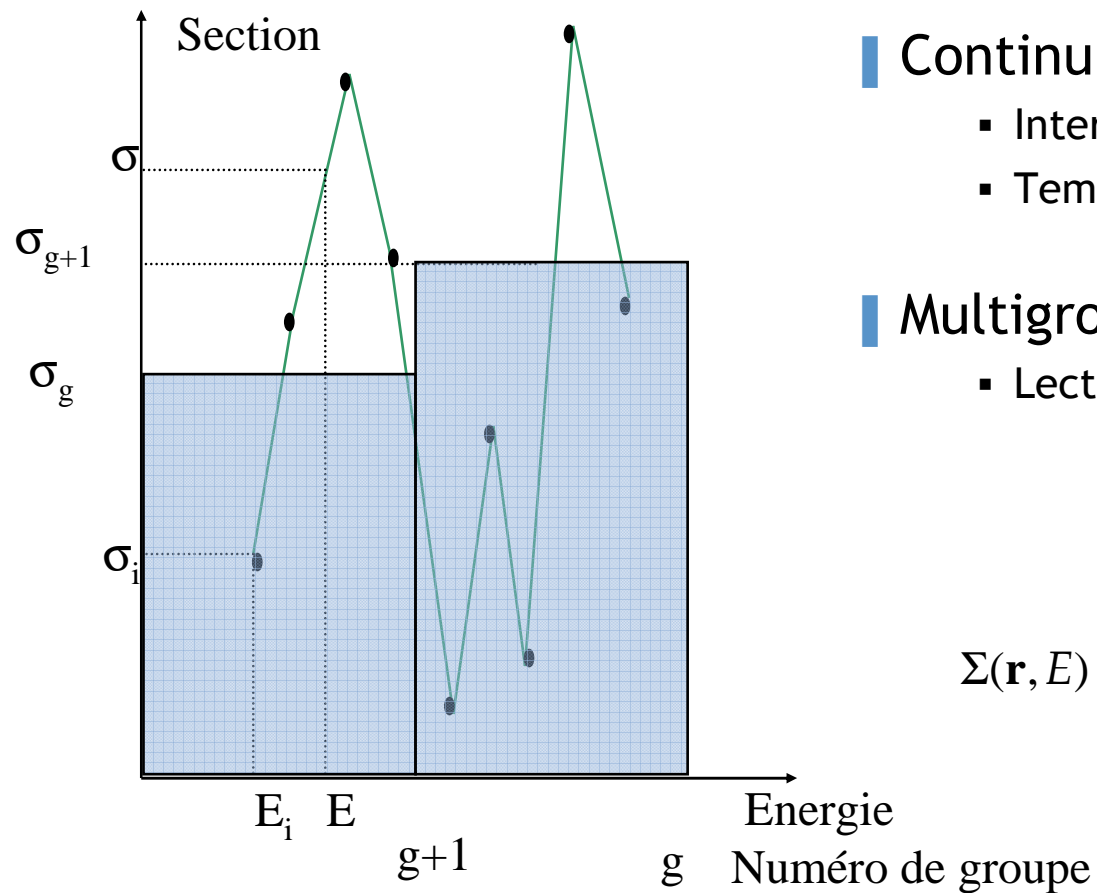
■ Voies de calcul CRISTAL

- Multigroupe
- Ponctuelle

Sections efficaces



Sections efficaces



Continu

- Interpolation linéaire entre les valeurs
- Temps de calcul

Multigroupe

- Lecture directe des valeurs

$$\Sigma(\mathbf{r}, E) \rightarrow \Sigma_g(\mathbf{r}) \equiv \frac{\int_{E_g}^{E_{g-1}} \Sigma(\mathbf{r}, E) \phi(\mathbf{r}, \Omega, E) dE}{\int_{E_g}^{E_{g-1}} \phi(\mathbf{r}, \Omega, E) dE}$$

Sections efficaces

$$\Sigma(\mathbf{r}, E) \rightarrow \Sigma_g(\mathbf{r}) \equiv \frac{\int_{E_g}^{E_{g-1}} \Sigma(\mathbf{r}, E) \phi(\mathbf{r}, \Omega, E) dE}{\int_{E_g}^{E_{g-1}} \phi(\mathbf{r}, \Omega, E) dE}$$

■ Production de sections multigroupes

- Rôle important des hypothèses sur la forme du flux $\phi(E)$

■ Comparer les flux multigroupe et ponctuel

- Multigroupe : pas de division par ΔE
 - pas une densité
- Comparaison graphiques de flux MORET / flux TRIPOLI
 - Attention les formes peuvent donc être différentes
 - Diviser les valeurs multigroupes par ΔE

Sommaire

■ Introduction

- Historique
- Généralités

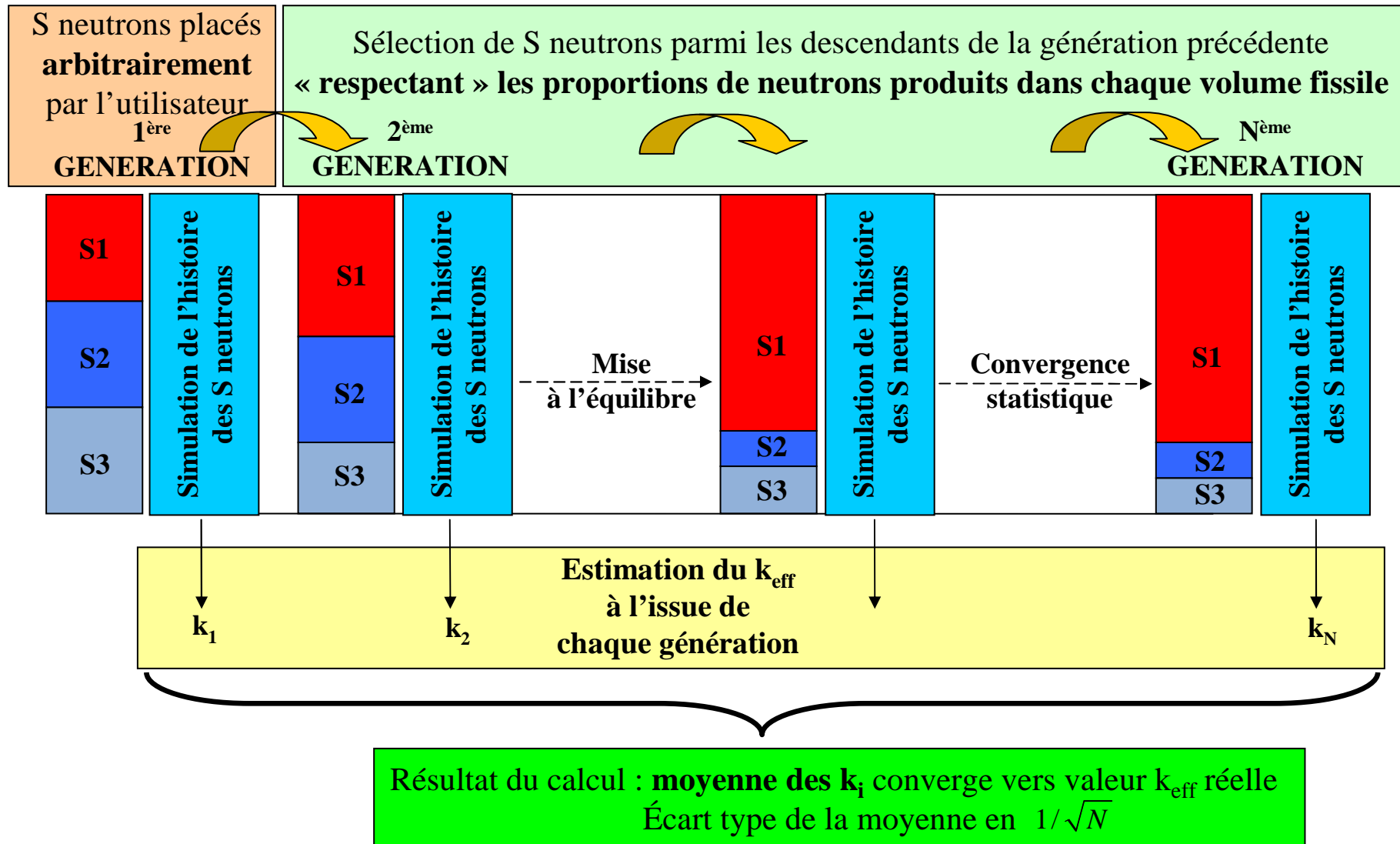
■ Application au calcul de criticité

- Simulation
- vie du neutron
- Sections efficaces
- **Convergence**
- Estimateurs

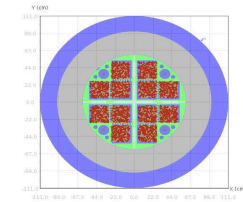
■ Voies de calcul CRISTAL

- Multigroupe
- Ponctuelle

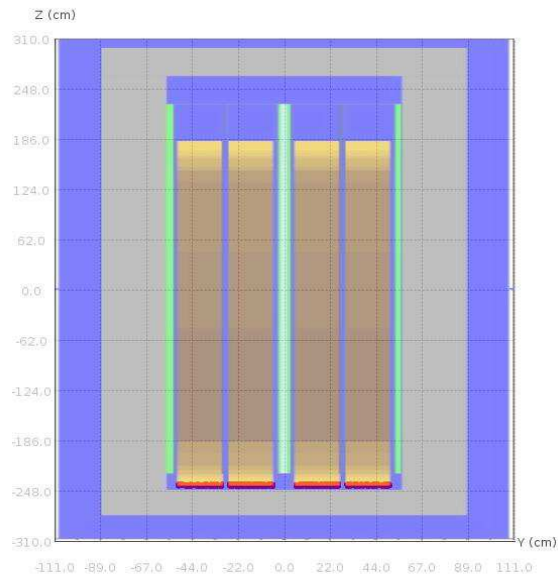
Convergence



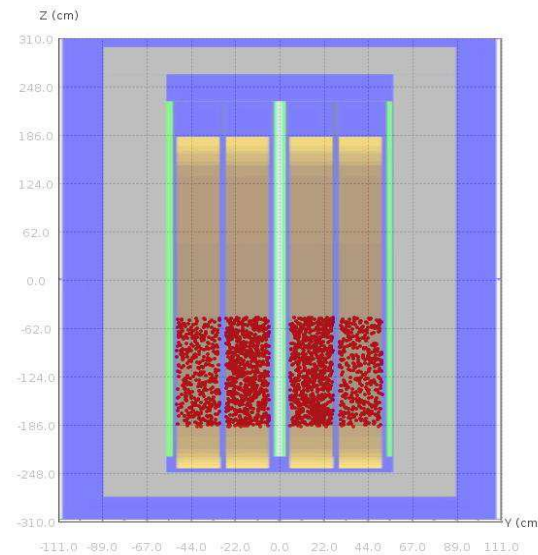
Convergence : Un exemple



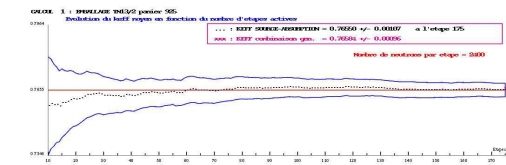
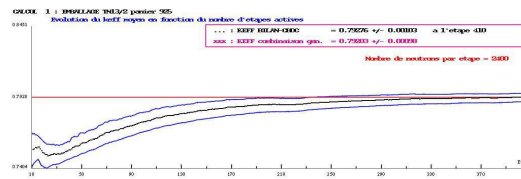
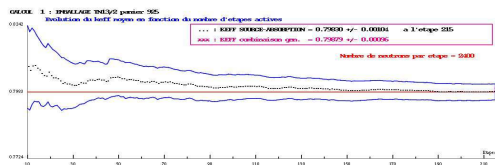
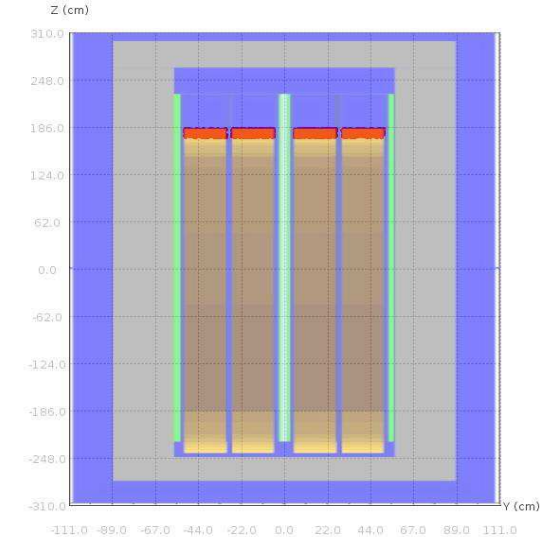
$K_{eff} = 0.799 \pm 100$ pcm
218 batches / 2400
neutrons



$K_{eff} = 0.792 \pm 100$ pcm
413 batches / 2400
neutrons



$K_{eff} = 0.766 \pm 100$ pcm
178 batches / 2400
neutrons



Les Questions à se poser pour garantir une bonne convergence

I Quelle est la distribution initiale ?

- Les volumes les plus réactifs contiennent-ils des neutrons sources ?
- Cette distribution est-elle proche du mode fondamental ?

I Échantillonnage ?

- Combien de neutrons faut-il simuler par étape ?
- Combien d'étapes ?

I Quelle est la longueur du transitoire ?

- À quelle étape commencer les encaissements ?

I Caractéristiques des cas difficiles

- Systèmes peu couplés du point de vue neutronique
 - Un cœur complet de réacteur
 - Un crayon de 4m à fort taux de combustion
 - Entreposage piscine - combustibles irradiés

Sommaire

■ Introduction

- Historique
- Généralités

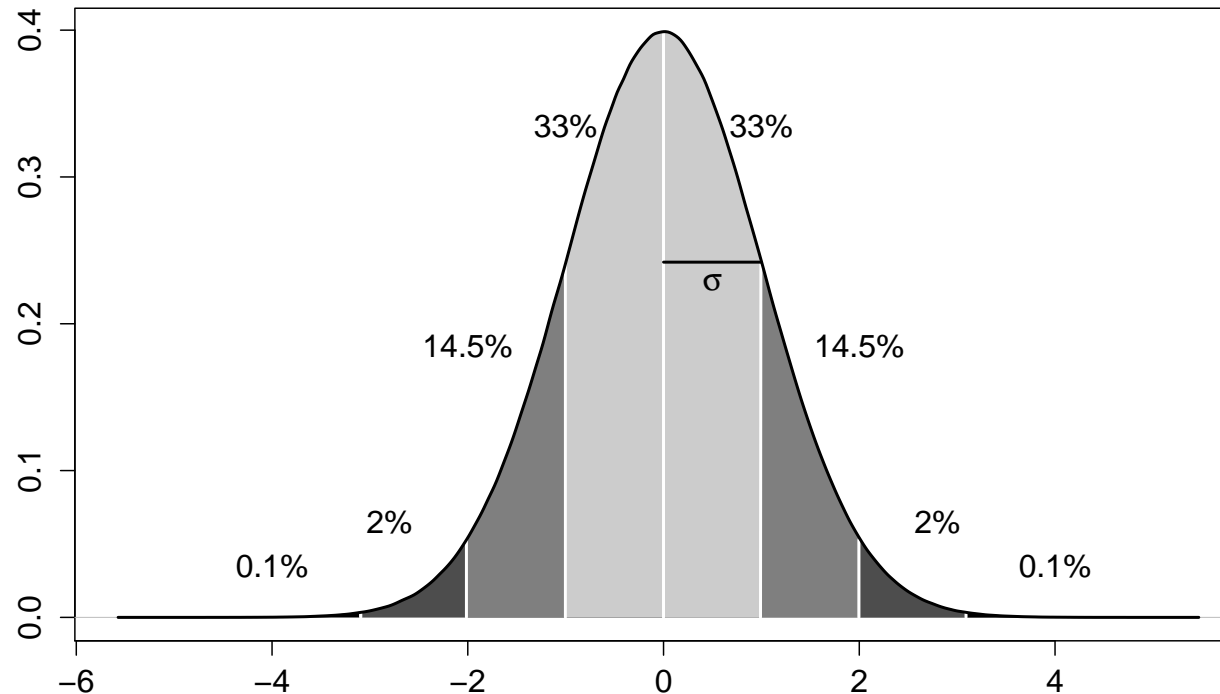
■ Application au calcul de criticité

- Simulation
- Les lois régissant la vie d'un neutron
- Sections efficaces
- Convergence
- **Estimateurs**

■ Voies de calcul CRISTAL

- Multigroupe
- Ponctuelle

Estimateurs : nature du résultat



Variables aléatoires

- Moyenne μ
- Ecart type σ

Intervalle de confiance

- $[\mu - N \sigma, \mu + N \sigma]$
- Pour $N = 1$, la probabilité est 0.66
- Pour $N = 2$, la probabilité est 0.95
- Pour $N = 3$, la probabilité est 0.99

Estimateurs

- Estimation sur les collisions d'une grandeur

$$I = \int f(x) \phi(x) dx$$

- Estimateur collision : événements selon densité Ψ

$$\psi = \Sigma_t \phi$$

- Calcul de

$$I = \int f(x) \frac{\psi(x)}{\Sigma_t(x)} dx$$

- Dans le calcul Monte Carlo :

- neutrons y_n selon Ψ
- w_n : poids statistique du neutron

$$\bar{I} = \frac{1}{N} \sum_{n=1}^N w_n \frac{f(y_n)}{\Sigma_t(y_n)}$$

Estimateurs

- Valeur par génération

- Détermine moyenne et l'écart type

- Trois estimateurs

- Estimation repose sur des événements différents
- Collision, absorption, déplacement
- Taux d'exces (n, x_n) ne peuvent pas être estimés par l'absorption

- Comparer les flux multigroupe et ponctuel

- Multigroupe : pas de division par ΔE
 - pas une densité
- Comparaison graphiques de flux MORET / flux TRIPOLI
 - Attention les formes peuvent donc être différentes
 - Diviser les valeurs multigroupes par ΔE

Estimateurs de flux

■ Fonction de réponse $f = 1$

- Poids statistique du neutron w_n

■ Estimateurs pour le flux

- dans un volume V et groupe g

- Collisions
$$\bar{\phi}_{V,g} = \frac{1}{N} \sum_{\text{neutrons}}^N \sum_{\text{collisions}} w_n \frac{1}{\Sigma_t} \delta(V, g)$$

- Absorptions
$$\bar{\phi}_{V,g} = \frac{1}{N} \sum_{\text{neutrons}}^N w_n \frac{1}{\Sigma_a} \delta(V, g)$$

- Déplacement
$$\bar{\phi}_{V,g} = \frac{1}{N} \sum_{\text{neutrons}}^N \sum_{\text{déplacement}} w_n \ell_n \delta(V, g)$$

Estimateurs de taux de production

■ Fonction de réponse $f = v\Sigma_f$

- Poids statistique du neutron w_n

■ Estimateurs pour le flux

- dans un volume V et groupe g

- Collisions
$$\bar{\phi}_{V,g} = \frac{1}{N} \sum_{\text{neutrons collisions}}^N \sum w_n \frac{v\Sigma_f}{\Sigma_t} \delta(V, g)$$

- Absorptions
$$\bar{\phi}_{V,g} = \frac{1}{N} \sum_{\text{neutrons}}^N w_n \frac{v\Sigma_f}{\Sigma_a} \delta(V, g)$$

- Déplacement
$$\bar{\phi}_{V,g} = \frac{1}{N} \sum_{\text{neutrons déplacement}}^N \sum w_n \ell_n v\Sigma_f \delta(V, g)$$

Estimateurs du keff

■ 2 définitions classiques du keff

- Source $k_{eff} = \frac{\text{production s durant la génération}}{\text{nb neutrons simulés durant la génération}}$
- Bilan $k_{eff} = \frac{\text{productions durant la génération}}{\text{bilan des neutrons de la génération}}$

■ productions, absorptions et excès estimés à partir du même estimateur de flux (choc, absorption, corde)

■ Keff bilan a généralement une variance plus faible

Estimateurs

- Aucun estimateur n'est performant dans tous les cas
- Tous les estimateurs convergent vers le même résultat mais de façon plus ou moins rapide en fonction de la configuration
- Meilleur estimateur selon les cas :
 - absorption : milieu infini
 - corde : milieux compacts de faible épaisseur optique
 - choc : autres cas

Sommaire

■ Introduction

- Historique
- Généralités

■ Simulation

- Quelques éléments calcul
 - Organisation, nombres aléatoires, géométrie
- Les lois régissant la vie d'un neutron
 - Naissance, Transport, Interaction
- Sections efficaces
- Convergence
 - Définition des Sources
- Estimateurs

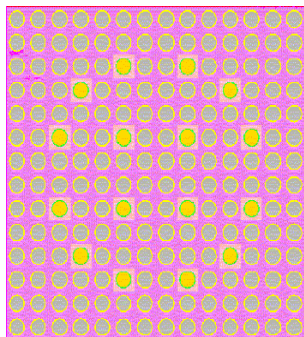
■ Voies de calcul CRISTAL

- Multigroupe
- Ponctuelle

Voies CRISTAL : APOLLO2 - MORET4

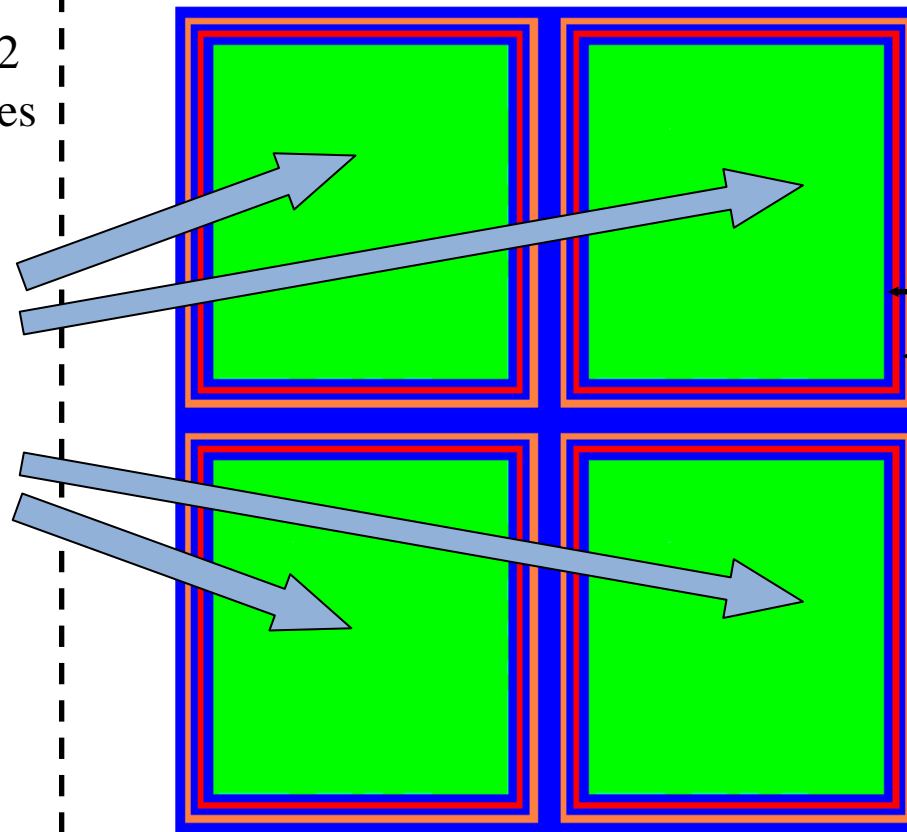
1^{ère} Etape

Assemblage 14×14
calculé par APOLLO2
Sections homogénéisées
et autoprotégées



+ Calcul des milieux
de structure par
APOLLO2

2^{ème} Etape



code d'étude de projets
(grand nombre de
calculs à effectuer)

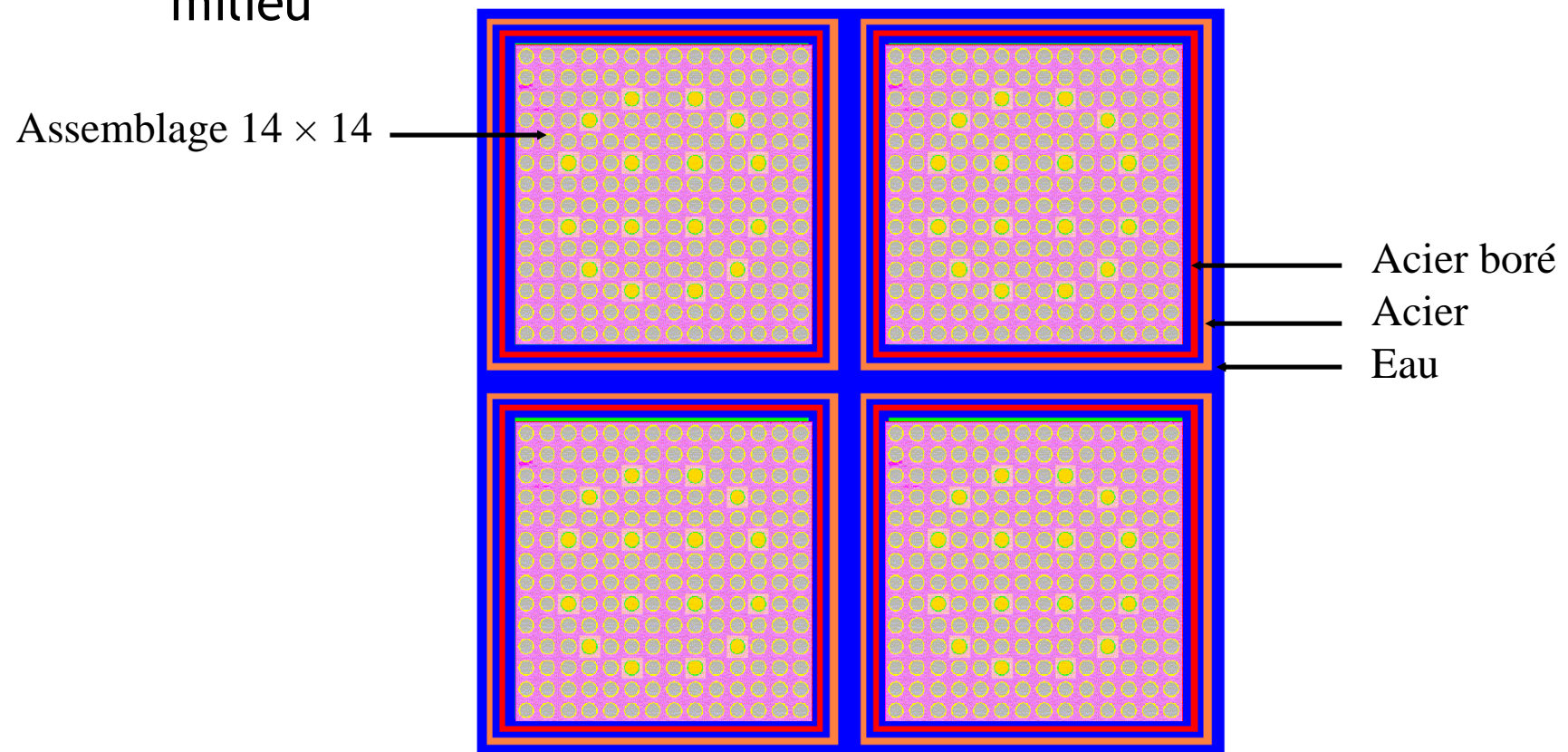
Optimisation coût-précision
(déterministe pour
hétérogénéités locale +
stochastique pour
complexité de la
géométrie)

Acier boré
Acier
Eau

Les milieux de
structure sont aussi
homogénéisés :
**Un seul noyau
équivalent**

Voies CRISTAL : TRIPOLI4

- Description géométrique détaillée
- Sections ponctuelles pour chacun des isotopes de chaque milieu



Temps de calcul

■ Comparaison

- Multigroupe
- Continu

Configuration				APOLLO2-MORET4					TRIPOLI4			facteur de mérite A2-M4 / T4
géométrie	volumes	isotopes	neutrons	étapes	sigma (pcm)	Tps (s) A2	Tps (s) M4	Tps total (s)	batches	sigma (pcm)	Tps (s)	
Sphère U235	1	1	2000	251	98	1.38	74.6	75.98	650	107	266	3.8
Sphère U-Pu	1	6	2000	204	97	3.94	111.6	115.5	650	101	546	4.9
Sphère U-H2O	1	3	2000	324	91	1.92	150.7	152.6	650	109	293	2.3
benchmark : réseau 20 x 20 MOX	M4 : 17 T4 : 13 + 5 par maille		2000	324	93	33.4	2029	2062	1000	74	18572	7.2

Quelques références

- Essai d'arithmétique morale, *G. Comte de Buffon*, Supplément à la naturelle, Vol.4, 1777
- Stan Ulam, John von Neumann, and the Monte Carlo Method, *R. Eckhardt*, Los Alamos Science, Special Issue, pp. 131-143, 1987
- N. Metropolis. The beginning of the Monte Carlo method. Los Alamos Science, Special issue, 1987
- Monte Carlo particle transport methods : neutron and photons calculations, I.Lux L.Koblinger, CRC Press 1991